

# Роль грибовских неупругих экранировок во взаимодействиях ядер с ядрами при высоких энергиях

A. С. Галоян<sup>1)</sup>, В. В. Ужинский

Объединенный институт ядерных исследований, 141980 Дубна, Россия

Поступила в редакцию 5 октября 2012 г.

Обнаружено, что учет грибовских неупругих экранировок в рамках квазийконального подхода, общего на случай взаимодействий ядер с ядрами, приводит к значительному уменьшению ( $\sim 18\%$ ) числа “раненых” нуклонов и множественности внутриядерных соударений в центральных взаимодействиях ядер. Это может существенно сказаться на экспериментальных оценках степени “гашения” струй и на гидродинамических расчетах поведения кварк-глюонной плазмы, возникающей в указанных взаимодействиях.

Амплитуда упругого адрон-ядерного рассеяния в глауберовском приближении [1–3] в представлении прицельного параметра дается следующим хорошо известным выражением:

$$\Gamma_{hA}(\mathbf{b}) = 1 - \left[ 1 - \frac{1}{A} \int \gamma(\mathbf{b} - \mathbf{s}) T_A(\mathbf{s}) d^2 s \right]^A, \quad (1)$$

в котором все обозначения имеют стандартные значения, а  $\gamma(\mathbf{b})$  – амплитуда упругого адрон-нуклонного рассеяния в представлении прицельного параметра. В квазийкональном приближении реджеонной теории [4, 5]  $\gamma(\mathbf{b})$  имеет вид

$$\gamma(\mathbf{b}) = \frac{1}{c_p c_t} \left[ 1 - e^{-c_p c_t P(\mathbf{b})} \right], \quad (2)$$

где  $P(\mathbf{b})$  – вклад однопомеронного обмена в амплитуду упругого адрон-нуклонного рассеяния:

$$P(\mathbf{b}) = \frac{\eta g_p(0) g_t(0)}{4\pi(R_p^2 + R_t^2 + \alpha' \xi')} e^{\Delta \xi - \mathbf{b}^2/4(R_p^2 + R_t^2 + \alpha' \xi')},$$

$c_p$  – коэффициент ливневого усиления в вершине взаимодействия померона с налетающим адроном,  $c_t$  – аналогичный коэффициент в вершине взаимодействия померона с нуклоном ядра.

При  $c_p$  и  $c_t$  больше единицы возникает возможность эффективного учета грибовских неупругих экранировок [6], обусловленных переходом в процессе рассеяния сталкивающихся адронов в дифракционные пучки с малой массой и обратно.

Обобщение квазийконального подхода на случай адрон-ядерного рассеяния приводит к следующему результату (более общее выражение, полученное при асимметричном рассмотрении налетающего адрона и

нуклона ядра, представлено в [7–9], а при симметричном – в [10]):

$$\Gamma_{hA}(\mathbf{b}) = \frac{1}{c_p} \left\{ 1 - \left[ 1 - \frac{c_p}{A} \int \gamma(\mathbf{b} - \mathbf{s}) T_A(\mathbf{s}) d^2 s \right]^A \right\} \equiv \quad (3)$$

$$\equiv \frac{1}{c_p} \left\{ 1 - \left[ 1 - \frac{c_p}{A} \int \gamma(\mathbf{b} - \mathbf{s}) T_A(\mathbf{s}) d^2 s \right]^A \right\} + \quad (4)$$

$$+ \frac{c_p - 1}{c_p} \left\{ 1 - \left[ 1 - \frac{0}{A} \int \gamma(\mathbf{b} - \mathbf{s}) T_A(\mathbf{s}) d^2 s \right]^A \right\}.$$

Выражение (4) допускает простую вероятностную трактовку. Налетающий адрон с вероятностью  $1/c_p$  может находиться в “активном” состоянии. При этом его взаимодействие с нуклоном ядра описывается амплитудой  $c_p \gamma(\mathbf{b})$ . С вероятностью же  $(c_p - 1)/c_p$  адрон может находиться в “пассивном” состоянии. При этом его амплитуда взаимодействия равна нулю. Таким образом, ситуация аналогична ранее рассмотренной ситуации с кварками [11].

Исходя из (3) можно получить вероятность неупругого взаимодействия адрона с ядром при заданном прицельном параметре:

$$G_{hA}(\mathbf{b}) = \frac{1}{c_p} \left\{ 1 - \left[ 1 - \frac{c_p}{A} \int g(\mathbf{b} - \mathbf{s}) T_A(\mathbf{s}) d^2 s \right]^A \right\}, \quad (5)$$

$$g(\mathbf{b}) = \gamma(\mathbf{b}) + \gamma^*(\mathbf{b}) - c_p c_t |\gamma(\mathbf{b})|^2$$

и найти распределение по числу внутриядерных соударений.

Обобщение выражений (3) и (5) на случай взаимодействий ядро-ядро при использовании вероят-

<sup>1)</sup> e-mail: galoyan@lxbpub01.jinr.ru

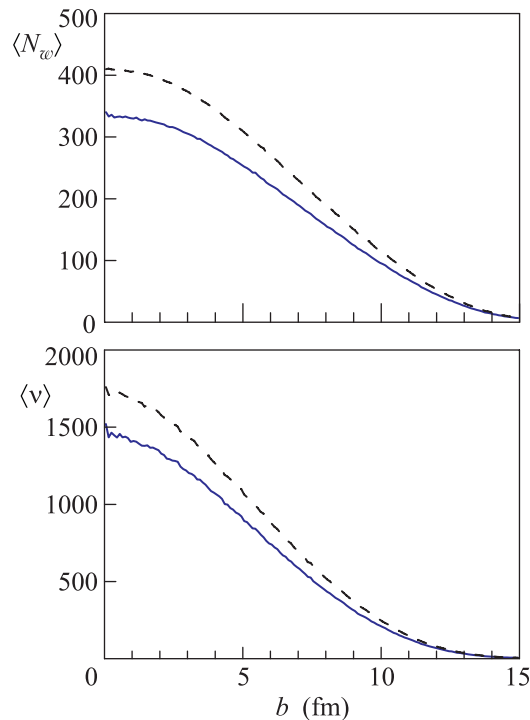
ностной интерпретации не представляет трудности. В частности,

$$\begin{aligned} G_{AB}(\mathbf{b}) = & \sum_{i=1}^A \left[ C_A^i \left( \frac{1}{c_p} \right)^i \left( \frac{c_p - 1}{c_p} \right)^{A-i} \right] \times \quad (6) \\ & \times \sum_{j=1}^B \left[ C_B^j \left( \frac{1}{c_t} \right)^j \left( \frac{c_t - 1}{c_t} \right)^{B-j} \right] \times \\ & \times \int \left\{ 1 - \prod_{k=1}^i \prod_{l=1}^j [1 - c_p c_t g(\mathbf{b} - \mathbf{s}_l + \boldsymbol{\tau}_k)] \right\} \times \\ & \times \left[ \prod_{k=1}^A \rho_A(\boldsymbol{\tau}_k, \zeta_k) d^2 \tau_k d\zeta_k \right] \left[ \prod_{l=1}^B \rho_B(\mathbf{s}_l, z_l) d^2 s_l dz_l \right]. \end{aligned}$$

В настоящее время характеристики взаимодействий ядро–ядро вычисляются с помощью выражения типа (6) с использованием методов Монте-Карло (см. [12–15]). При этом необходимо задать плотности ядер  $\rho_A$  и  $\rho_B$  и амплитуду  $\gamma(\mathbf{b})$ . Мы использовали в расчетах для плотностей ядер распределение Саксона–Вудса с параметрами, представленными в работе [16]. Амплитуда  $NN$ -рассеяния задавалась в виде  $2^x$ -мерного распределения Ферми с параметрами, приведенными в [17, 18]. Результаты расчетов для энергии LHC представлены на рисунке. В расчетах функции  $c_p$  и  $c_t$  параметризовались в виде  $1.23 - 0.92/\sqrt{s_{NN}}$ .

Как видно из рисунка, учет грибовских неупругих экранировок приводит к существенному уменьшению множественности “раненых” нуклонов (нуклонов, принявших участие в неупругих взаимодействиях) и множественности внутриядерных соударений. (Среднее число “активных” нуклонов в центральных соударениях равно  $A/c_p + B/c_t$ .) Это может иметь существенное значение для экспериментальных исследований эффекта “гашения” струй–уменьшения выхода частиц с большими  $p_T$  во взаимодействиях ядро–ядро по сравнению с выходом частиц в  $NN$ -соударениях. “Гашение” струй обусловлено значительными потерями энергии кварками и глюонами, принявшими участие в “жестких” соударениях, в образующейся кварк–глюонной плазме. В экспериментальных исследованиях для сравнения спектров частиц в ядро–ядерных и нуклон–нуклонных соударениях спектр частиц во взаимодействиях ядро–ядро нормируется на число внутриядерных соударений, рассчитанных в глауберовском подходе. Теперь появилась возможность провести это сравнение более корректно.

Глауберовские расчеты широко используются при задании начальных условий существования кварк–глюонной плазмы с последующей ее эволюцией в рамках гидродинамической модели [19]. Рекомендуемые



Зависимости средней множественности “раненых” нуклонов  $\langle N_w \rangle$  и среднего числа внутриядерных соударений  $\nu$  от прицельного параметра  $b$  в  $\text{Pb}+\text{Pb}$ -взаимодействиях при  $\sqrt{s_{NN}} = 2760$  ГэВ. Сплошные линии – расчет в предложенном квазийкональном приближении, штриховые – стандартные глауберовские расчеты

изменения плотности “раненых” нуклонов, безусловно, отразятся на расчетных результатах гидродинамической модели. Для восстановления ныне существующего хорошего описания процессов множественного рождения частиц потребуется изменить условия “замерзания” кварк–глюонной плазмы. Однако можно ожидать, что флуктуации начальных условий в квазийкональном подходе окажутся больше, чем в глауберовском подходе. Это может быть обнаружено при исследовании высших гармоник колективных потоков во взаимодействиях ядро–ядро.

Представленное обобщение квазийконального подхода предсказывает уменьшение полных и упругих сечений взаимодействий ядро–ядро ( $\sim 18\%$ ). Кроме того, оно позволяет рассчитать сечения дифракционной диссоциации. В современных ускорительных экспериментах измерить полные и упругие сечения весьма затруднительно. Определенные усилия должны быть затрачены и на измерение дифракционных сечений. Подчеркнем что рассматриваемые сечения очень важны для физики космических лучей.

В заключение отметим, что эффекты грибовских неупругих экранировок в неупругих адрон-ядерных взаимодействиях весьма незначительны ( $\sim 3\text{--}5\%$ ).

Авторы благодарны Группе адронных взаимодействий Сотрудничества Geant-4 за проявленный к работе интерес, полезные обсуждения и поддержку.

1. R. J. Glauber, in: *Lectures in Theoretical Physics* (ed. by W. E. Brittin and L. Dunham), Interscience Publishers, N.Y., 1959, v. 1; R. J. Glauber, *Proc. of the 2nd Int. Conf. on High Energy Physics and Nuclear Structure*, Rehovoth, 1967 (ed. by G. A. Alexander), North-Holland, Amsterdam, 1967; Р. Дж. Глаубер, УФН **103**, 641 (1971).
2. А.Г. Ситенко, Укр. Физ. Жур. **4**, 152 (1957).
3. V. Franco, Phys. Rev. **175**, 1376 (1968); W. Czyz and L. C. Maximon, Ann. of Phys. (N.Y.) **52**, 59 (1969).
4. К. А. Тер-Мартиросян, Письма в ЖЭТФ **15**, 734 (1972) [JETP Lett. **15**, 519 (1972)]; К. А. Тер-Мартиросян, Nucl. Phys. B **36**, 666 (1972).
5. А. Б. Кайдалов, ЯФ **16**, 389 (1972); Sov. J. Nucl. Phys. **16**, 217 (1972).
6. В. Н. Грибов, ЖЭТФ **53**, 654 (1967); Sov. Phys. JETP **26**, 414 (1969).
7. Ю. М. Шабельский, ЭЧАЯ **12**, 1070 (1981); Sov. J. Part. Nucl. **12**, 430 (1981).
8. Yu. M. Shabelski, Nucl. Phys. B **132**, 491 (1978).
9. V. M. Braun and Yu. M. Shabelski, Int. J. Mod. Phys. A **3**, 2417 (1988).
10. V. R. Zoller, Z. Phys. C **44**, 207 (1989); **51**, 659 (1991).
11. Б. З. Копелиович и Л. И. Лапидус, Письма в ЖЭТФ **28**, 664 (1978) [JETP Lett. **28**, 614 (1978)].
12. S. Yu. Shmakov, V. V. Uzhinskii, and A. M. Zadorozhny, Comp. Phys. Commun. **54**, 125 (1989).
13. D. Krpic and Yu. M. Shabelski, Z. Phys. C **48**, 483 (1990).
14. M. L. Miller, K. Reygers, S. J. Sanders, and P. Steinberg, Ann. Rev. Nucl. Part. Sci. **57**, 205 (2007).
15. W. Broniowski, M. Rybczynski, and P. Bozek, Comp. Phys. Commun. **180**, 69 (2009).
16. L. C. Chamon, B. V. Carlson, L. R. Gasques et al., Phys. Rev. C **66**, 014610 (2002).
17. А. С. Галоян, В. В. Ужинский, Письма в ЖЭТФ **94**, 539 (2011) [JETP Lett. **94**, 499 (2011)].
18. V. Uzhinsky and A. Galoyan, arXiv:1111.4984 [hep-ph] (2011).
19. P. F. Kolb and U. W. Heinz, in *Quark gluon plasma* (ed. by R. C. Hwa and X. N. Wang), World Scientific, Singapore, 2003, p. 634; P. Huovinen, in *Quark gluon plasma* (ed. by R. C. Hwa), 2003, p. 600; P. Huovinen and P. V. Ruuskanen, Ann. Rev. Nucl. Part. Sci. **56**, 163 (2006).